

# Метод інтегральних рівнянь для оберненої крайової задачі для бігармонійного рівняння

Багрій Анна

Львівський національний університет імені Івана Франка

2020

# Зміст

- ❶ Постановка задачі
- ❷ Загальні положення
  - Зведення до IP
  - Алгоритм знаходення розв'язку оберненої крайової з-чі
- ❸ Чисельне розв'язування коректної системи IP
  - Параметризація
  - Метод Нистрьома
- ❹ Чисельне розв'язування коректного IP
  - Лінеаризація некоректного IP
  - Чисельне розв'язування лінеаризованого IP
- ❺ Чисельні експерименти

# Постановка задачі

$$\Delta^2 u = 0 \text{ в } \Omega, \quad (1)$$

$$u = \frac{\partial u}{\partial n} = 0 \text{ на } \Gamma_1, \quad (2)$$

$$\frac{\partial u}{\partial n} = g, \quad Mu = q \text{ на } \Gamma_2, \quad (3)$$

$$Mu = \nu \Delta u + (1 - \nu)(u_{x_1 x_1} n_1^2 + 2u_{x_1 x_2} n_1 n_2 + u_{x_2 x_2} n_2^2), \quad \nu \in (0, 1).$$

Із заданими функціями  $g, q$  на  $\Gamma_2$  і умовою Діріхле

$$u = f \text{ на } \Gamma_2 \quad (4)$$

реконструювати невідому межу  $\Gamma_1$ .

# Існування та єдиність розв'язку оберненої задачі

## Теорема (про існування та єдиність розв'язку оберненої задачі)

Нехай  $\tilde{\Gamma}_1$ ,  $\Gamma_1$  - замкнені криві, що містяться всередині  $\Gamma_2$ ,  $\tilde{u}$ ,  $u$  - розв'язки задачі для  $\tilde{\Gamma}_1$  і  $\Gamma_1$  відповідно. Нехай  $g \neq 0$ ,  $q \neq 0$  і  $u = \tilde{u}$  на відкритій підмножині  $\Gamma_2$ . Тоді  $\tilde{\Gamma}_1 = \Gamma_1$ .

# Непрямий метод інтегральних рівнянь

Фундаментальний розв'язок бігармонійного рівняння має вигляд

$$G(x, y) = \frac{1}{8\pi} |x - y|^2 \ln |x - y|, \quad x, y \in \mathbb{R}^2. \quad (5)$$

Розглянемо потенціал простого шару для бігармонійного рівняння

$$u(x) = \int_{\Gamma} (G(x, y)\varphi(y) + \frac{\partial G(x, y)}{\partial n_y} \psi(y)) d\sigma_y, \quad x \in \Omega, \quad (6)$$

де  $\varphi, \psi$  - невідомі густини, що визначені на  $\Gamma$ .

# Існування та єдиність розв'язку прямої задачі

## Теорема (про існування та єдиність розв'язку прямої задачі)

Розв'язок крайової задачі (1)-(3) можна подати у вигляді

$$u(x) = \sum_{k=1}^2 \int_{\Gamma_k} \left( G(x, y) \varphi_k(y) + \frac{\partial G(x, y)}{\partial n_y} \psi_k(y) \right) d\sigma_y + \omega(x), \quad x \in \Omega, \quad (7)$$

$\omega(x) = \alpha_0 + \alpha_1 x_1 + \alpha_2 x_2$ ,  $(\alpha_0, \alpha_1, \alpha_2) \in R^3$ ,  $\varphi_k, \psi_k \in C(\Gamma_k)$ ,  $k = 1, 2$ . Існує єдиний розв'язок вигляду (7) системи інтегральних рівнянь

$$\begin{cases} \sum_{k=1}^2 \int_{\Gamma_k} \left( G(x, y) \varphi_k(y) + \frac{\partial G(x, y)}{\partial n_y} \psi_k(y) \right) d\sigma_y + \omega(x) = 0, & x \in \Gamma_1, \\ \sum_{k=1}^2 \int_{\Gamma_k} \left( \frac{\partial G(x, y)}{\partial n_x} \varphi_k(y) + \frac{\partial^2 G(x, y)}{\partial n_y \partial n_x} \psi_k(y) \right) d\sigma_y + \frac{\partial \omega(x)}{\partial n} = 0, & x \in \Gamma_1, \\ \sum_{k=1}^2 \int_{\Gamma_k} \left( \frac{\partial G(x, y)}{\partial n_x} \varphi_k(y) + \frac{\partial^2 G(x, y)}{\partial n_y \partial n_x} \psi_k(y) \right) d\sigma_y + \frac{\partial \omega(x)}{\partial n} = g(x), & x \in \Gamma_2, \\ \sum_{k=1}^2 \int_{\Gamma_k} \left( M_x G(x, y) \varphi_k(y) + \frac{\partial M_x G(x, y)}{\partial n_y} \psi_k(y) \right) d\sigma_y = q(x), & x \in \Gamma_2 \end{cases} \quad (8)$$

разом із рівняннями

# Існування та єдиність розв'язку прямої задачі

Теорема (про існування та єдиність розв'язку прямої задачі)

$$\begin{cases} \sum_{k=1}^2 \int_{\Gamma_k} \varphi_k(y) d\sigma_y = A_0, \\ \sum_{k=1}^2 \int_{\Gamma_k} (y_1 \varphi_k(y) + n_1(y) \psi_k(y)) d\sigma_y = A_1, \\ \sum_{k=1}^2 \int_{\Gamma_k} (y_2 \varphi_k(y) + n_2(y) \psi_k(y)) d\sigma_y = A_2 \end{cases} \quad (9)$$

для заданих  $(A_0, A_1, A_2) \in R^3$ .

З умови (4) маємо наступне інтегральне рівняння

$$\sum_{k=1}^2 \int_{\Gamma_k} \left( G(x, y) \varphi_k(y) + \frac{\partial G(x, y)}{\partial n_y} \psi_k(y) \right) d\sigma_y + \omega(x) = f(x), \quad x \in \Gamma_2. \quad (10)$$



# Узагальнений алгоритм

- Для заданого початкового наближення  $\Gamma_1$  розв'язуємо пряму задачу для (9) і знаходимо невідомі густини.
- Лінеаризуємо рівняння (10) і покращуємо  $\Gamma_1$ , розв'язуючи лінеаризоване рівняння (10) для фіксованих густин, які є відомими з (9).
- Умовою зупинки може бути  $\|q\|_2 < \epsilon$ , де  $q$  - функція, що задає покращення  $\Gamma_1$ ,  $\epsilon$  - задана точність.

# Параметризація

$$\Gamma_l = \{x_l(s) = (x_{1l}(s), x_{2l}(s)) : s \in [0, 2\pi]\}$$

$$\begin{cases} \frac{1}{2\pi} \sum_{k=1}^2 \int_0^{2\pi} (H_{1k}(s, \sigma) \varphi_k(\sigma) + \tilde{H}_{1k}(s, \sigma) \psi_k(\sigma)) d\sigma + \omega(x_1(s)) = 0, \\ \frac{1}{2\pi} \sum_{k=1}^2 \int_0^{2\pi} (\tilde{\tilde{H}}_{1k}(s, \sigma) \varphi_k(\sigma) + \hat{H}_{1k}(s, \sigma) \psi_k(\sigma)) d\sigma + \frac{\partial \omega(x_1(s))}{\partial n_1} = 0, \\ \frac{1}{2\pi} \sum_{k=1}^2 \int_0^{2\pi} (\tilde{\tilde{H}}_{2k}(s, \sigma) \varphi_k(\sigma) + \hat{H}_{2k}(s, \sigma) \psi_k(\sigma)) d\sigma + \frac{\partial \omega(x_2(s))}{\partial n_2} = g(x_2(s)), \\ \frac{1}{2\pi} \sum_{k=1}^2 \int_0^{2\pi} (\hat{\hat{H}}_{2k}(s, \sigma) \varphi_k(\sigma) + \bar{H}_{2k}(s, \sigma) \psi_k(\sigma)) d\sigma = q(x_2(s)), \end{cases} \quad (11)$$

# Параметризація

$$\begin{cases} \sum_{k=1}^2 \int_0^{2\pi} \varphi_k(\sigma) d\sigma = A_0, \\ \sum_{k=1}^2 \int_0^{2\pi} (x_{1k} \varphi_k(\sigma) + n_1(x_k(\sigma)) \psi_k(\sigma)) d\sigma = A_1, \\ \sum_{k=1}^2 \int_0^{2\pi} (x_{2k} \varphi_k(\sigma) + n_2(x_k(\sigma)) \psi_k(\sigma)) d\sigma = A_2. \end{cases} \quad (12)$$

# Параметризація

Тут

$\varphi_l(s) := \varphi_k(x_l(s))|x'_l(s)|$ ,  $\psi_l(s) := \psi_k(x_l(s))|x'_l(s)|$  – невідомі густини і ядра мають вигляд

$$H_{lk}(s, \sigma) = G(x_l(s), x_k(\sigma)), \quad \tilde{H}_{lk}(s, \sigma) = \frac{\partial G(x_l(s), x_k(\sigma))}{\partial n_y},$$

$$\tilde{\tilde{H}}_{lk}(s, \sigma) = \frac{\partial G(x_l(s), x_k(\sigma))}{\partial n_x}, \quad \hat{H}_{lk}(s, \sigma) = \frac{\partial^2 G(x_l(s), x_k(\sigma))}{\partial n_y \partial n_x},$$

$$\hat{\hat{H}}_{lk}(s, \sigma) = M_{x_l(s)} G(x_l(s), x_k(\sigma)), \quad \bar{H}_{lk}(s, \sigma) = \frac{\partial M_{x_l(s)} G(x_l(s), x_k(\sigma))}{\partial n_y},$$

$$n(x(s)) = \left( \frac{x'_2(s)}{|x'(s)|}, -\frac{x'_1(s)}{|x'(s)|} \right) - \text{зовнішня нормаль.}$$

# Виділення логарифмічної особливості

При  $l = k$  всі ядра, окрім  $\bar{H}_l$ , мають логарифмічну особливість. Наприклад, після виділення особливості ядра  $H_l$ , воно матиме наступний вигляд

$$H_l(s, \sigma) = H_l^{(1)}(s, \sigma) \ln \left( \frac{4}{e} \sin^2 \frac{s - \sigma}{2} \right) + H_l^{(2)}(s, \sigma),$$

де

$$H_l^{(1)}(s, \sigma) = \frac{1}{8} |x_l(s) - x_l(\sigma)|^2,$$

$$H_l^{(2)}(s, \sigma) = \frac{1}{8} |x_l(s) - x_l(\sigma)| \ln \left( \frac{e |x_l(s) - x_l(\sigma)|^2}{4 \sin^2 \frac{s - \sigma}{2}} \right), \quad s \in [0, 2\pi].$$

Аналогічно для інших ядер.

# Чисельне розв'язування

Застосуємо квадратурні формули

$$\frac{1}{2\pi} \int_0^{2\pi} f(\sigma) d\sigma \approx \frac{1}{2m} \sum_{j=0}^{2m-1} f(s_j), \quad (13)$$

$$\frac{1}{2\pi} \int_0^{2\pi} f(\sigma) \ln \left( \frac{4}{e} \sin^2 \frac{s - \sigma}{2} \right) d\sigma \approx \frac{1}{2m} \sum_{j=0}^{2m-1} R_j(s) f(s_j), \quad (14)$$

$$s_k = kh, \quad k = 0, \dots, 2m-1, \quad h = \frac{\pi}{m},$$

$$R_k(s) = -\frac{1}{m} \left( \frac{1}{2} + \sum_{j=1}^{m-1} \frac{1}{j} \cos \frac{jk\pi}{m} + \frac{(-1)^k}{2m} \right) - \text{ваги},$$

до параметризованої системи ІР (11)-(12).

# Дискретизація системи IP

$$\left\{ \begin{array}{l} \sum_{j=0}^{2m-1} \left( (H_{11}^{(1)}(s_i, s_j) R_{|i-j|} + \frac{1}{2m} H_{11}^{(2)}(s_i, s_j)) \varphi_{1j} + \frac{1}{2m} H_{12}(s_i, s_j) \varphi_{2j} + \right. \\ \left. (\tilde{H}_{11}^{(1)}(s_i, s_j) R_{|i-j|} + \frac{1}{2m} \tilde{H}_{11}^{(2)}(s_i, s_j)) \psi_{1j} + \frac{1}{2m} \tilde{H}_{12}(s_i, s_j) \psi_{2j} \right) + \omega_{1i} = 0, \\ \sum_{j=0}^{2m-1} \left( (\tilde{\tilde{H}}_{11}^{(1)}(s_i, s_j) R_{|i-j|} + \frac{1}{2m} \tilde{\tilde{H}}_{11}^{(2)}(s_i, s_j)) \varphi_{1j} + \frac{1}{2m} \tilde{\tilde{H}}_{12} \varphi_{2j} + \right. \\ \left. (\hat{H}_{11}^{(1)}(s_i, s_j) R_{|i-j|} + \frac{1}{2m} \hat{H}_{11}^{(2)}(s_i, s_j)) \psi_{1j} + \frac{1}{2m} \hat{H}_{12} \psi_{2j} \right) + \frac{\partial \omega_{1i}}{\partial n_1} = 0, \end{array} \right. \quad (15)$$

# Дискретизація системи ІР

$$\left\{ \begin{array}{l} \sum_{j=0}^{2m-1} \left( \frac{1}{2m} \tilde{H}_{21} \varphi_{1j} + (\tilde{H}_{22}^{(1)}(s_i, s_j) R_{|i-j|} + \frac{1}{2m} \tilde{H}_{22}^{(2)}(s_i, s_j)) \varphi_{2j} + \right. \\ \left. \frac{1}{2m} \hat{H}_{21}(s_i, s_j) \psi_{1j} + (\hat{H}_{22}^{(1)}(s_i, s_j) R_{|i-j|} + \frac{1}{2m} \hat{H}_{22}^{(2)}(s_i, s_j)) \psi_{2j} \right) + \\ \frac{\partial \omega_{2i}}{\partial n_2} = g_{2i}, \\ \sum_{j=0}^{2m-1} \left( \frac{1}{2m} \hat{H}_{21}(s_i, s_j) \varphi_{1j} + (\hat{H}_{22}^{(1)}(s_i, s_j) R_{|i-j|} + \frac{1}{2m} \hat{H}_{22}^{(2)}(s_i, s_j)) \varphi_{2j} + \right. \\ \left. \frac{1}{2m} (\bar{H}_{21}(s_i, s_j) \psi_{1j} + \bar{H}_{22}(s_i, s_j) \psi_{2j}) \right) = q_{2i}, \end{array} \right. \quad (16)$$



# Дискретизація системи IP

$$\begin{cases} h \sum_{k=1}^2 \sum_{j=0}^{2m-1} \varphi_{kj} = A_0, \\ h \sum_{k=1}^2 \sum_{j=0}^{2m-1} (x_{1k}(s_j) \varphi_{kj} + n_1(x_k(s_j)) \psi_{kj}) = A_1, \\ h \sum_{k=1}^2 \sum_{j=0}^{2m-1} (x_{2k}(s_j) \varphi_{kj} + n_2(x_k(s_j)) \psi_{kj}) = A_2. \end{cases} \quad (17)$$

# Чисельне розв'язування

Розв'язок прямої задачі (15)-(17) має вигляд

$$u(x) \approx \sum_{k=1}^2 \sum_{j=0}^{2m-1} \left( H_k(x, s_j) \varphi_{kj} + \tilde{H}_k(x, s_j) \psi_{kj} \right) + a_0 + a_1 x_1 + a_2 x_2,$$

$$x \in \Omega, \quad \varphi_{kj} \approx \varphi_k(s_j), \quad \psi_{kj} \approx \psi_k(s_j), \quad j = 0, \dots, 2m-1,$$

$$H_l(x, \sigma) = \frac{1}{8\pi} |x - x_l(\sigma)|^2 \ln |x - x_l(\sigma)|,$$

$$\tilde{H}_l(x, \sigma) = \frac{1}{8\pi} n(x_l(\sigma)) \cdot (x - x_l(\sigma))(1 + 2 \ln |x - x_l(\sigma)|), \quad l = 1, 2.$$

# Розв'язування некоректного ІР

Нехай  $\Gamma_1$  належить до класу "зіркових" кривих. Тоді

$$x_1(t) = \{r(t)(\cos(t), \sin(t)) : t \in [0, 2\pi]\},$$

де  $r : \mathbb{R} \rightarrow (0, \infty)$  -  $2\pi$ -періодична радіальна функція.

Параметризоване рівняння (10) має вигляд

$$\frac{1}{2\pi} \sum_{k=1}^2 \int_0^{2\pi} \left( H_{2k}(s, \sigma) \varphi_k(\sigma) + \tilde{H}_{2k}(s, \sigma) \psi_k(\sigma) \right) d\sigma + \omega(x_2(s)) = f(x_2(s)). \quad (18)$$

# Параметризація некоректного ІР

Введемо наступні оператори

$$(S_k \varphi)(s) := \frac{1}{2\pi} \int_0^{2\pi} H_{2k}(s, \sigma) \varphi(\sigma) d\sigma,$$

$$(\tilde{S}_k \psi)(s) := \frac{1}{2\pi} \int_0^{2\pi} \tilde{H}_{2k}(s, \sigma) \psi(\sigma) d\sigma,$$

і перепишемо рівняння (18) у вигляді

$$S_1 \varphi_1 + \tilde{S}_1 \psi_1 + S_2 \varphi_2 + \tilde{S}_2 \psi_2 + \omega = f \quad \text{на } \Gamma_2. \quad (19)$$

Нехай  $r = 21$ .

# Операторне подання некоректного ІР

Лінеаризоване рівняння матиме вигляд

$$(S'_1[r, \varphi]q)(s) + (\tilde{S}'_1[r, \psi]q)(s) = f(s) - (S_1\varphi_1)(s) - (\tilde{S}_1\psi_1)(s) - (S_2\varphi_2)(s) - (\tilde{S}_2\psi_2)(s) - \omega(s), \quad (20)$$

де  $q$  - радіальна функція, що задає покращення для  $\Gamma_1$  і

$$(S'_1[r, \varphi]q)(s) = \frac{1}{8\pi} \int_0^{2\pi} q(\sigma) N_r(s, \sigma) \varphi(\sigma) d\sigma,$$

$$(\tilde{S}'_1[r, \psi]q)(s) = -\frac{1}{8\pi} \int_0^{2\pi} q(\sigma) \tilde{N}_r(s, \sigma) \psi(\sigma) d\sigma$$

похідні Фреше,

$$N_r(s, \sigma) = c(\sigma) \cdot \nabla_{x_1(\sigma)} |x_2(s) - x_1(\sigma)|^2 \ln |x_2(s) - x_1(\sigma)|,$$

$$\tilde{N}_r(s, \sigma) = c(\sigma) \cdot \nabla_{x_1(\sigma)} n(x_1(\sigma)) \cdot (x_2(s) - x_1(\sigma)) (1 + 2 \ln |x_2(s) - x_1(\sigma)|).$$

# Метод колокації

Лінеаризоване рівняння (20) розв'яжемо методом колокацій з апроксимацією

$$q_n(s) = \sum_{i=0}^{2n} q_{ni} l_i(s), \quad n \in N, \quad n < m,$$

де  $l_i(s) = \cos is$ , коли  $i = 0, \dots, n$  і  $l_i(s) = \sin(n - i)s$  для  $i = n + 1, \dots, 2n$ .

Тоді необхідно розв'язати таку систему лінійних рівнянь

$$\sum_{j=0}^{2n} q_{nj} A_{ij} = b_i, \quad i = 0, \dots, 2m - 1. \quad (21)$$

# Метод колокації

$$A_{ij} = \frac{1}{8m} \sum_{k=0}^{2m-1} \left( l_j(s_k) N_r(s_i, s_k) \varphi_{1m}(s_k) + l_j(s_k) \tilde{N}_r(s_i, s_k) \psi_{1m}(s_k) \right),$$

$$b_i = f(s_i) - w(s_i) - \sum_{k=0}^{2m-1} \left( \frac{1}{2m} H_{21}(s_i, s_k) \varphi_{1n}(s_k) + \right. \\ \left. \frac{1}{2m} \tilde{H}_{21}(s_i, s_k) \psi_{1n}(s_k) + (R_j(s_i) H_{22}^{(1)}(s_i, s_k) + \frac{1}{2m} H_{22}^{(2)}(s_i, s_k)) \varphi_{2n}(s_k) + \right. \\ \left. (R_j(s_i) \tilde{H}_{22}^{(1)}(s_i, s_k) + \frac{1}{2m} \tilde{H}_{22}^{(2)}(s_i, s_k)) \psi_{2n}(s_k) \right).$$

# Розв'язування перевизначеної і некоректної СЛАР

До перевизначеної системи застосуємо метод найменших квадратів і регуляризацію Тихонова з параметром регуляризації  $\lambda$

$$\tilde{q} = (A^T A + \lambda I)^{-1} A^T b, \quad \tilde{q} = (q_{n,1}, \dots, q_{n,2n})^T. \quad (22)$$

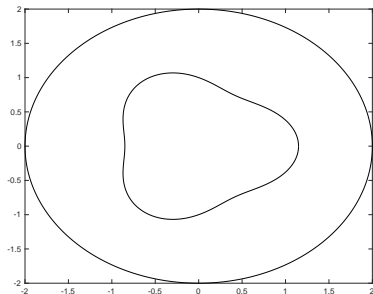
Нове наближення радіальної функції  $r$  обчислюється як  $r = r + q_n$ .



# Алгоритм розв'язування оберненої задачі

- 1 Вибрати початкове наближення для  $r$ .
- 2 Сформулювати і розв'язати дискретизовану систему лінійних рівнянь для знаходження невідомих густин  $\varphi_k, \psi_k$ ,  $k = 1, 2$ , і констант  $a_0, a_1, a_2$ .
- 3 Для фіксованих  $r, a_0, a_1, a_2, \varphi_k, \psi_k$ ,  $k = 1, 2$  розв'язати лінеаризоване рівняння (20) відносно функції  $q$ , що задає покращення для  $\Gamma_1$ .
- 4 Обрахувати нове наближення для радіальної функції  $r = r + q_n$ .
- 5 Якщо  $\|q\|_2 < \epsilon$ , то наближення до  $\Gamma_1$  знайдено. Інакше перейти до кроку 2.

# Приклад 1



Нехай на  $\Gamma_2$  задано функції

$$g(x_1, x_2) = x_1 - x_2,$$

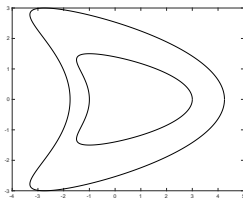
$$q(x_1, x_2) = x_1 + x_2.$$

# Приклад 1

$\tilde{u}(x), x = (1, -1.5) \in \Omega$		
m	$A_0 = A_1 = A_2 = 1, \nu = 0.5$	$A_0 = 0.1, A_1 = 1, A_2 = 0, \nu = 0.9$
4	2.1772	1.9093
8	2.2293	1.9261
16	2.2374	1.9296
32	2.2369	1.9295
64	2.2369	1.9295
128	2.2369	1.9295

**Табл.:** Наближення розв'язку при збільшенні  $m$  і зміні основних параметрів

# Приклад 2



Нехай точний розв'язок заданий як

$$u(x) = G(x, y^*), \quad x = (x_1, x_2) \in \Omega, \quad y^* \notin \Omega.$$

Тоді функції, що задані на  $\Gamma_2$ , мають вигляд

$$g(x) = \frac{\partial G(x, y^*)}{\partial n},$$

$$q(x) = M_x G(x, y^*).$$

# Приклад 2

	$ \tilde{u} - u_{ex} , x = (0, -2) \in \Omega$
m	$A_0 = A_1 = A_2 = 1, \nu = 0.5$
4	0.00100300
8	0.00001130
16	7.0444e-08
32	5.4863e-11
64	6.5824e-15
128	6.5824e-17

Табл.: Абсолютна похибка при збільшенні  $m$

# Висновки

У роботі було розглянуто чисельне розв'язування оберненої крайової задачі для бігармонійного рівняння у випадку двозв'язної області методом нелінійних інтегральних рівнянь, що ґрунтується на теорії потенціалів. Була показана коректність відповідної прямої задачі. Були проведені чисельні експерименти, які демонструють коректність прямої задачі, а також експоненційну збіжність вибраного методу.

## Список літератури



R. Chapko and B. T. Johansson, Integral equations for biharmonic data completion, Inverse Problems and Imaging, Vol. 130 : P.1-12 (2019)



R. Chapko, V. Vavrychuk and O. I. Yaman, On the non-linear integral equation method for the reconstruction of the inclusion in the elastic body, Journal of Numerical and Applied Mathematics, Vol. 122 : P.1-17 (2019)



R. Kress, Inverse dirichlet problem and conformal mapping, Mathematics and Computers in Simulation, P.255-265 (2004)



H. Hedenmalm, On the uniqueness theorem of Holmgren, Mathematische Zeitschrift, Vol. 281, P.2 (2013)



R. Chapko, On a hybrid method for shape reconstruction of a buried object in an elastostatic half plane, Inverse Problems and Imaging, 3 (2) : P.199-210 (2009)



R. Kress and S. Meyer, An inverse boundary value problem for the Oseen equation, P.13-15 (1994)



R. Kress, Linear integral equations, Applied Mathematical Sciences, Third Edition, New York (2014)

Дякую за увагу!